文章编号: 1007-4627(2005)01-0115-03

PdAgHx金属氢化物正电子湮没研究*

左 翼,郑永男,周冬梅,杜思鹏,袁犬庆,段 晓,朱升云 (中国原子能科学研究院,北京 1024130)

摘 要:在77—295 K 温区和氢浓度 0—0.35 范围采用正电子湮没寿命测量方法研究了 $Pd_{0.75}Ag_{0.25}H_{x}$ 氢化物合金.充氢后正电子湮没寿命谱可以用两个寿命成分表征.短寿命成分 τ_{1} 不随温度和氢浓度变化,是自由正电子湮没寿命;长寿命成分 τ_{2} 及其相对强度 I_{2} 不随温度变化,但随氢浓度的增加分别增大和减小, τ_{2} 是氢气泡捕获的正电子湮没寿命, τ_{2} 增大和 I_{2} 减小说明随氢浓度增大氢聚集成的气泡的尺度增大,而浓度减小.实验结果表明,氢脆的微观机理是氢气泡致脆.

关键词:金属氢化物 PdAgHz; 氢气泡; 氢脆; 正电子湮没寿命

中图分类号: TL99

文献标识码: A

1 引言

氢能源是 21 世纪的重要能源. 氢能源系统是 将自然界中取之不尽的氢转化为各种形式的能量. 氢能源具有经济、安全、洁净和不需电网任何时候 与任何地方都能使用的方便灵活性等优点. 金属氢 化物是一种新型的能源和氢输运材料,它不仅可以 作为贮氢材料和输送氢的载体,还是一种电能、机 械能、化学能和热能转换的功能材料,有广泛的应 用前景[1]. 氢的贮存是氢能源开发和应用的关键, 因而了解贮存过程中氢在材料中的行为和提高材料 贮氢效率是当前氢能源研究的热点课题, 在工程 上, 氢脆及其微观机理是一个受到广泛关注的问 题,目前对氢脆微观机理有许多不同的解释,需要 实验验证. 这些研究都需要了解氢在材料中的行为 及其引起的材料微观结构和宏观性能的变化. 金属 氢化物研究具有重要的实用价值和理论意义. PdAg是一种有潜力的能源材料,也是一种重要的 聚变堆材料. 本工作采用正电子湮没方法, 在77~ 295 K 温区和氢浓度为 0-0.35 范围, 系统地研究 了这种氢化物性能随温度和氢浓度的变化, 正电子 湮没寿命方法从原子尺度研究材料的微结构,对材 料微结构十分敏感,能够研究材料结构变化的最初 始阶段及发展过程,得到材料宏观性能变化的微观 机制[2].

2 实验

Pd_{0,75} Ag_{0,25} 合金样品采用氩气保护下的溶解压锭法制备. 将纯度为 99.9%的 Pd 粉和 Ag 粉按 3: 1 重量比均匀混合溶解压锭,由于银的熔点为 961 °C,而 Pd 的熔点为 1 582 °C,为防止 Ag 挥发丢失,熔解压锭过程在加压氩气保护下进行. 溶解压锭过程反复 2 至 3 次,以保证样品的均匀性. 然后将 Pd_{0,75} Ag_{0,25} 锭辗压成厚度为 1 mm 的薄片. Pd_{0,75} Ag_{0,25} 薄片在氩气保护下退火,保证样品晶格的完整性,消除辗压在样品中产生的缺陷. 实验样品大小为 10 mm \times 10 mm \times 1 mm.

待充氢的 $Pd_{0.75}Ag_{0.25}$ 样品清洗后放入充氢系统. 充氢前首先将系统抽真空到 10^{-3} Pa, 然后充入 1×10^{5} Pa 的氢气,待样品吸氢至一定浓度后取出. 样品吸氢使系统氢气压降低,由氢气压变化和放入样品的重量可以确定充氢浓度 x, x 定义为氢原子数与样品原子数比. 4 组实验样品的氢浓度 x 分别为 0, 0. 1, 0. 2 和 0. 35.

正电子湮没寿命测量采用快-快符合正电子湮没寿命谱仪. 谱仪的探测器由氟化钡闪烁体和XP2020Q光电倍加管组成. 采用⁶⁰ Co 测量了谱仪的时间分辨,实验测得的谱仪时间分辨为 210 ps.

收稿日期: 2004 - 08 - 31;修改日期: 2004 - 10 - 26

^{*} 基金项目:中国核工业集团公司基金资助项目(4160205030103)

实验测量中采用²² Na 正电子源,源强为 8×10⁵ Bq. 测量时两块相同样品和源形成三明治夹心结构.

每组样品在 77—295 K 温度范围内 77, 150, 210 和 295 K 4 个温度点进行了正电子湮没寿命测量. 温度控制精度好于±1 K, 每个寿命谱总计数为 106.

实验测量的正电子湮没寿命谱用 LT 程序拟合^[3]. 除源成分外,用两寿命成分拟合,拟合参数为 τ_1 , τ_2 , I_2 ($I_1+I_2=1$). 拟合优度好于 1.3.

3 结果和讨论

图 1 是 PdAgH,中正电子湮没短寿命成分 τ 随 温度和氢浓度的变化,图 2 是正电子湮没长寿命成 分 72 随温度和氢浓度的变化. 由图可见, 在未充氢 的样品中只有一个短寿命成分 71,样品充氢后有两 个寿命,除短寿命成分 7,外,出现一个长寿命成分 τ₂. 在实验误差范围内, τ₁ 不随温度和氢浓度变化, 这是正电子在 PdAgH,中的体寿命. 对所有 ri求平 均,得到 $\tau_1 = 125.8(2.1)$ ps. 由图 3 可以看到,长 寿命成分τ₂基本不随温度变化,而随氢浓度增加而 变大,其相对强度 12同样不随温度变化,但是随氢 浓度增大而减小. 由于氢在晶体材料中的溶解度很 小, 充的氢很容易在晶界等处析出, 形成氢气泡. τ2 是氢气泡捕获的正电子湮没的寿命, 随氢浓度增 加 72变大,表明氢气泡尺度随氢浓度增加变大.而 I₂随氢浓度增大而减小,表明充入的氢主要使氢原 子聚团增大氢气泡的尺度、浓度随氢浓度增加变 小. 我们充氢是在室温下进行的,在室温时材料中 的氢是很活泼的,氢扩散和晶界析出等主要发生在 这个时候, 氢气泡就是在这个时候形成的. 温度降 低只能使氢的活动冻结,不引起氢气泡尺度和浓度 的变化, 所以长寿命成分 72 及其相对强度 12 不随温 度变化. 短寿命成分 τ₁ 不随温度变化, 表明在 77 K 到室温的温度范围 PdAg 合金没有发生结构相变.

氢脆及其机理是一个受到广泛关注的问题. 氢脆微观机理有多种不同的观点,先后提出了氢气泡引起氢脆的模型^[4]、固溶氢致脆模型^[5,6]、氢复合体模型^[7]、应力诱发氢脆模型^[8]、氢弱化裂纹尖断的原子结合键、促进位错形核和裂纹同空位合并模型^[9]等. 我们的实验数据支持了氢气泡引起氢脆的微观机理.

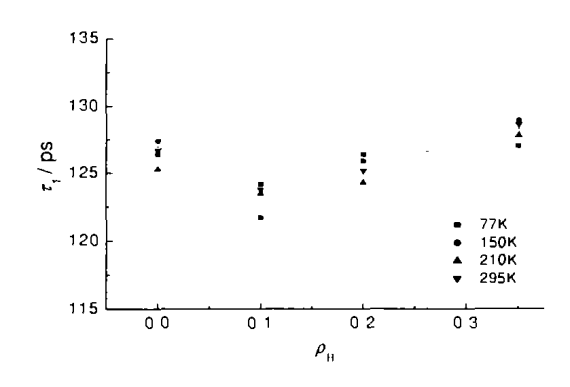


图 1 PdAgH_x中正电子湮没寿命 τ₁ 随温度和氢浓度的变化

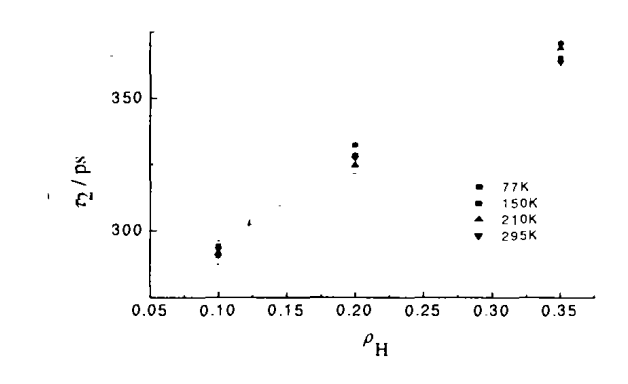


图 2 PdAgH,中正电子湮没寿命 72 随温度和氢浓度的变化

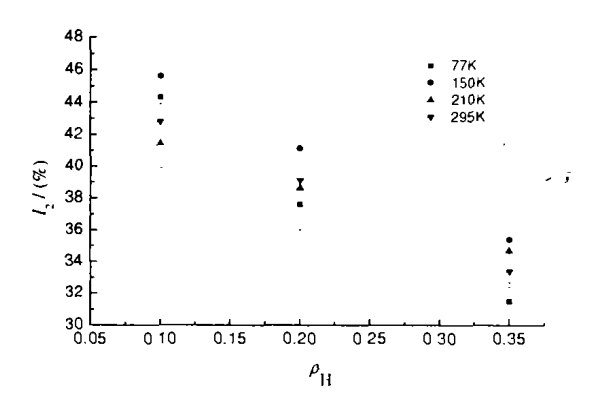


图 3 $PdAgH_r$ 正电子湮没寿命成分 τ_2 的强度 I_2 随温度和氢浓度的变化

采用正电子湮没寿命测量方法在温度 77—295 K、氢浓度 0—0.35 范围研究了 $Pd_{0.75}Ag_{0.25}H_{*}$ 氢化物合金.短寿命成分 τ_{1} 是自由正电子湮没寿命,不随温度和氢浓度变化,表明 PdAg 合金没有发生结构相变.长寿命成分 τ_{2} 是氢气泡捕获的正电子湮没寿命, τ_{2} 及其相对强度 I_{2} 随氢浓度增大分别增大和减小,表明 τ_{2} 随氢浓度增大氢聚集成气泡的尺度增大而浓度减小.实验结果有力地支持了氢气泡引起氢脆的微观机理.

参考文献:

- [1] 胡子龙. 贮氢材料. 北京: 化学工业出版社, 2002.
- [2] Gainotti A. Ghezzi C, Manfredi M, et al. Nuovo Cimento, 1968, LVI B: 147.
- [3] Kansy J. Nucl Instr & Methods, 1996, A374; 235.
- [4] Scamans C M, Alani R, Swann P R. Corr Sci, 1976, 16: 443.
- [5] Alani R, Swann P R. Brit Corr, 1977, 12: 80.

- [6] Christodoulou L, Flower H M. Acta Met. 1980, 28; 481.
- [7] Viswanadham R K, Sun T S, Green A S. Met Trans, 1980, 11A: 85.
- [8] Ciaraldi S W, Nelson J L, Yeske R A. Hydrogen Effect in Metals, New York; ASM, 1980, 437.
- [9] Lynch S P. J Mater Sci, 1985, 20: 3 329.

Investigation of Metal Hydride PdAgH_x by Positron Annihilation*

ZUO Yi, ZHENG Yong-nan, ZHOU Dong-mei, DU En-peng, YUAN Da-qing, DUAN Xiao, ZHU Sheng-yun

(China Institute of Atomic Energy, Beijing 102413, China)

Abstract: The metal hydride $PdAgH_x$ with a hydrogen concentration x ranging from 0 to 0. 35 has been investigated by positron annihilation lifetime method in the temperature region between 77 K and 295 K. The measured lifetime spectra in metal hydride $PdAgH_x$ are characterized by two lifetimes τ_1 and τ_2 . The short lifetime τ_1 is independent of both hydrogen concentration and temperature, which is ascribed to the annihilation lifetime of free positrons. The long lifetime τ_2 and its intensity I_2 do not change with temperature, while τ_2 increases and I_2 decreases with increasing of hydrogen concentration. τ_2 is attributed to the lifetime of positrons trapped at the hydrogen bubble. The increase of τ_2 indicates the growth of the hydrogen bubble, and the decrease of I_2 shows the reduction of the hydrogen bubble concentration. The experimental result shows a microscopic mechanism that the hydrogen bubble produced causes hydrogen embrittlement.

Key words: metal hydride $PdAgH_x$; hydrogen bubble; hydrogen embrittlement; positron annihilation li-

Key words: metal hydride PdAgH_x; hydrogen bubble; hydrogen embrittlement; positron annihilation lifetime

^{*} Foundation item: China Nuclear Engineering and Construction(Group) Corporation(4160205030103)